

ORIGINAL ARTICLE

Mineralization and Decolorization of Fermentation Industry Wastewater by Catalytic Ozonation Process: Kinetics and Mechanism

Elham Rahimi¹,
Yousef Dadban Shahamat²,
Farideh Atabi³,
Seyed Mostafa Khezri⁴

¹ MSc Student in Environmental Health Engineering, Faculty of Environment, Islamic Azad University, West Tehran Branch, Tehran, Iran

² Assistant Professor, Environmental Health Research Center, Department of Environmental Health Engineering, Faculty of Health, Golestan University of Medical Sciences, Gorgan, Iran

³ Associate Professor, Department of Environment and Energy, Faculty of Environment and Energy, Islamic Azad University, West Tehran Branch, Tehran, Iran

⁴ Associate Professor, Department of Environment and Energy, Faculty of Environment, Islamic Azad University, West Tehran Branch, Tehran, Iran

(Received March 2, 2016 ; Accepted June 13, 2016)

Abstract

Background and purpose: Molasses is colored, toxic and non-biodegradable compound which is found in the wastewater of fermentation industries. This study investigated the kinetic and efficiency of molass dye removal and mineralization in the yeast wastewater using nanocomposite catalysts in ozonation process.

Materials and methods: The catalytic ozonation process (COP) of colored effluent of biological treatment of yeast production factory was carried out using semi-continuous flow cylindrical reactor and the effects of operational parameters such as initial pH value (4-10) and reaction time (5-60 min) on removal efficiency of dye and mineralization were investigated. After determining the kinetic parameters of reaction, the effects of some other parameters such as adsorption and reuse of the catalyst were calculated and the efficiency was compared with single ozonation process (SOP) and granular carbon as catalyst.

Results: The removal efficiency of dye of molass factories effluent and its kinetic, at the condition of initial dye concentration 4521 ADMI, catalyst concentration 2 g/L and 60 min reaction time were 95% and 0.045 min⁻¹, respectively; while these parameters in SOP and granular activated carbon as catalyst were 71% with 0.018 min⁻¹ and 86% with 0.028 min⁻¹, respectively. But, the mineralization and its kinetic in COP were 74% and 0.023 min⁻¹, respectively, in which initial TOC was decreased from 510 mg/L to 132 mg/L.

Conclusion: The nanocomposite was found to have the best efficiency in dye degradation and TOC removal and it is easy to recover and reuse over and over by magnet. The main mechanism of dye degradation in COP was chemical oxidation and less occurred by adsorption.

Keywords: catalytic ozonation, dye removal, fermentation industry, mineralization, wastewater

J Mazandaran Univ Med Sci 2016; 26(140): 115-126 (Persian).

بررسی رنگ زدایی و معدنی سازی پساب صنایع تخمیری توسط فرایند ازن زنی کاتالیزوری: مطالعه سینتیکی و فرایند

الهام رحیمی^۱

یوسف دادبان شهامت^۲

فریده عتابی^۳

سید مصطفی خضری^۴

چکیده

سابقه و هدف: ملاس یک ترکیب رنگی، سمی و تجزیه ناپذیر است که در فاضلاب صنایع تخمیری وجود دارد. در این تحقیق راندمان و سینتیک حذف رنگ و معدنی سازی ملاس پساب کارخانه خمیر مایه توسط کاتالیست نانو کامپوزیتی کربنی در فرآیند ازن زنی کاتالیزوری و منفرد بررسی شده است.

مواد و روش‌ها: پساب رنگی خروجی از سیستم تصفیه بیولوژیکی، لجن فعال کارخانه تولید خمیر مایه از ملاس در راکتور استوانه‌ای جریان نیمه پیوسته ازن زنی کاتالیزوری (COP) شد و تاثیر پارامترهای pH اولیه (۱۰-۴)، زمان ماند (۵-۶۰ دقیقه)، بر راندمان حذف رنگ و معدنی سازی مورد بررسی قرار گرفتند؛ پس از تعیین سینتیک فرایندها، اثر جذب سطحی و استفاده مجدد کاتالیست محاسبه شد و راندمان آن با فرایند ازن زنی منفرد (SOP) و کاتالیست کربنی گرانوله مقایسه گردید.

یافته‌ها: راندمان حذف رنگ ملاس موجود در پساب (۴۵۲۱ ADMII) و سینتیک آن در فرایند COP در شرایط بهینه، پس از ۶۰ دقیقه زمان واکنش با غلظت کاتالیست کاتالیست L/g ، 2g ، به ترتیب به معادل ۹۵ درصد و $۰/۰۴۵ \text{ min}^{-1}$ بود، که این مقادیر در SOP به ترتیب معادل ۷۱ درصد و $۰/۰۱۸ \text{ min}^{-1}$ و هم‌چنین کاتالیست کربنی گرانوله ۸۶ درصد و $۰/۰۲۸ \text{ min}^{-1}$ بوده است. این در حالی است که راندمان معدنی سازی در فرایند COP معادل ۷۴ درصد تعیین گردید که در آن مقدار TOC اولیه از ۵۱۰ mg/L با سینتیک حذف $۰/۰۲۳ \text{ min}^{-1}$ به ۱۳۲ mg/L کاهش یافت.

استنتاج: کاتالیست نانو کامپوزیتی دارای بالاترین راندمان تجزیه رنگ و حذف مواد آلی در فرایند COP می‌باشد و می‌توان آن را برای توسعه آهن ربا بازیافت کرده و بارها مورد استفاده مجدد قرار داد. عملده‌ترین مکانیسم حذف رنگ اکسیداسیون شیمیایی بوده و سهم اندکی به واسطه جذب می‌باشد.

واژه‌های کلیدی: ازناسیون کاتالیزوری، صنعت تخمیر، فاضلاب، حذف رنگ، معدنی سازی

مقدمه

افزایش مواد شیمیایی دیر تجزیه به خصوص مواد رنگی با خاصیت جهش‌زاوی و سرطان‌زاوی در پساب صنایع باشند^(۱)، و نیز تشدید قوانین سخت گیرانه زیست محیطی و هم‌چنین ناکارآمدی روش‌های سنتی در حذف رنگ

مولف مسئول: یوسف دادبان شهامت - گرگان: دانشگاه علوم پزشکی گلستان، دانشکده بهداشت، گروه مهندسی بهداشت محیط

۱. دانشجویی کارشناسی ارشد مهندسی محیط زیست، دانشکده محیط زیست، دانشگاه آزاد اسلامی، واحد تهران غرب، تهران، ایران

۲. استادیار، مرکز تحقیقات بهداشت محیط، گروه مهندسی بهداشت محیط، دانشکده بهداشت، دانشگاه علوم پزشکی گلستان، گرگان، ایران

۳. دانشیار، گروه محیط زیست و ارثی، دانشکده محیط زیست و ارثی، دانشگاه آزاد اسلامی واحد علوم و تحقیقات تهران، ایران

۴. دانشیار، گروه محیط زیست و ارثی، دانشکده محیط زیست، دانشگاه آزاد اسلامی واحد علوم و تحقیقات تهران، ایران

تاریخ دریافت: ۱۳۹۴/۱۲/۱۲ تاریخ ارجاع جهت اصلاحات: ۱۳۹۵/۱/۲۰ تاریخ تصویب: ۱۳۹۵/۷/۲۴

رنگ حاصل از ملاتوئیدها باقی ماند و مقدار نیاز اکسیژن شیمیایی (COD) فاضلاب عمل آوری شده بالاتر از حد استاندارد مقدار تعیین شده توسط اداره فعالیت‌های صنعتی وزارت صنایع گزارش شد(۱۱).

روش‌های متعددی از قبیل روش‌های بیولوژیکی، حرارتی، فیزیکی و شیمیایی نظیر تبخیر، فیلتراسیون، اسمز معکوس، جذب، کواگولاسیون، اکسیداسیون شیمیایی و تعویض یون برای تصفیه ملاس به کار رفته است که هر کدام به دلیل مشکلات خاص خود از قبیل مصرف انرژی زیاد و تحمل هزینه‌های بالا، مکانیسم‌ها و فرایندهای بهره‌برداری پیچیده و اضافه نمودن مواد شیمیایی به پساب و تولید آلاینده جدید از مقبولیت کم تری برخوردار می‌باشد.

Catalytic Ozonation Process (COP) به صورت ناهمگن در واقع یک روش جدیدی از اکسیداسیون پیشرفت می‌باشد که با اضافه نمودن کاتالیست سبب کاهش مدت زمان واکنش، معدنی سازی موثر و در نهایت کاهش هزینه می‌گردد(۱۲)؛ که در آن دیگر مشکلات کاربرد نور UV، فشار و دمای بالا وجود نخواهد داشت(۱۳). اگر چه فلزات واسطه و اکسیدهای فلزی، کاتالیزور‌های رایج در فرایند ازن زنی می‌باشند ولی اخیراً کربن فعال نیز به عنوان یک جایگزین مناسب برای تصفیه فاضلاب‌های حاوی رنگ و یا سایر آلاینده‌های آلی مانند اسیدهای کربوکسیلیک مورد توجه قرار گرفته است؛ زیرا ویژگی‌های شیمیایی سطح کربن فعال و گروه‌های سطحی اکسیژن دار نقش مهمی در مکانیسم واکنش دارند(۱۴). از آنجایی که کاربرد آهن به عنوان کاتالیست در فرایند ازن زنی مطرح می‌باشد، با نشاندن ننانوذرات آهن مغناطیسی، ذرات سوپر پارامگنتیک یا کربن فعال مغناطیسی تهیه خواهد شد که امکان وجود اثر سینزیستی کاتالیست و تاثیر بیشتر آن و بازیافت آسان آن برای استفاده‌های مکرر فراهم خواهد آمد، که در این صورت مشکلات بازیافت و اثر بخشی موجود در کاتالیست‌های قبل نیز بر طرف خواهد شد و راندمان حذف آلاینده ارتقاء خواهد یافت. هدف از این

این آلاینده‌ها موجب شده یکی از مهم‌ترین دغدغه‌های محققین در تصفیه فاضلاب‌ها می‌باشد که ضرورت جستجو برای روش‌های جدید و موثر را برای حذف این آلاینده‌ها را پر رنگ‌تر می‌نماید(۲). ملاس یکی از محصولات فرعی کارخانجات قند می‌باشد که مخلوطی از ساکارز و سایر قندهای یک و چند واحدی است و آخرین پسابی است که در تصفیه خانه‌های شکر بدست می‌آید(۳). ملاس کاربردهای بسیاری در صنعت از جمله خوراک دام، قند‌گیری، کود، خوراک انسان، صنایع تخمیری، تهیه الکل، تهیه خمیر مایه نانوایی دارد(۴). از طرف دیگر تخلیه پساب صنایع تخمیری به محیط زیست پتانسیل خطرزایی بالایی دارد که علت آن بارآلی بالا، محترای ترکیبات نیتروژن و فسفر بسیار زیاد می‌باشد که سبب بی‌هوایی شدن و یوتوفیکاسیون پیکره‌های آبی دریافت کننده این پساب‌ها می‌گردد(۵). هم‌چنین ترکیبات شدیداً رنگی، سمی و تجزیه ناپذیر ملاس در پساب این صنایع سبب سمیت و کاهش نفوذ نور به رودخانه و دریاچه‌ها شده و در نتیجه کاهش فتوستتر و کمبود اکسیژن و مرگ آبزیان را بدبند خواهد داشت(۶) دفع این نوع پساب در خاک سبب از بین رفتگی‌ها، کاهش قلیائیت خاک، تغییرات فیزیکو شیمیایی نظیر رنگ، pH و هدایت الکتریکی شده(۷)، و باعث کاهش باکتریهای تشیت‌کننده نیتروژن مانند ریزوبیوم و از توباکتر می‌گردد(۸). فاضلاب ملاس هنگامی که بر سطح خاک پخش می‌شود خاک را اسیدی می‌کند و بر محصولات کشاورزی تأثیر منفی می‌گذارد(۹). در تایلند اکثر صنایع تولید الکل از ملاس به عنوان ماده خام استفاده می‌کنند و فاضلاب آنرا که حدود ۱۰ برابر الکل تولیدی است در محیط رها می‌سازند. چندین کارخانه تقطیر الکل سعی کرده‌اند تا بوسیله شیوه‌های غیرهوایی مانند تخمیر متان و سیستم استخراج تثیت بی‌هوایی فاضلاب و بدبند آن روش‌های هوایی مانند سیستم لجن فعلی یا حوض هوادهی، فاضلاب حاصل را مورد تصفیه قرار دهند(۱۰). با این حال پس از همه این فرآیندهای تصفیه تقریباً در همه پساب‌ها تقطیر

دبی ۰/۵ لیتر در دقیقه و دستگاه ازن ژتراتسور مدل ARDA-COG 0A با ظرفیت ۱ گرم در ساعت و ساخت کشور فرانسه جریان ازن (L.min) ۳۳ mg تولید و به راکتور تزریق شد.

تحقیق بررسی کارایی این روش در حذف و معدنی سازی رنگ ملاس پساب توسط کاتالیست نانو کامپوزیتی کربنی در فرآیند ازن زنی و مقایسه آن با راندمان فرایند ازن زنی منفرد (SOP) و کاتالیست کربنی گرانوله می باشد.

- مراحل و روش انجام تحقیق

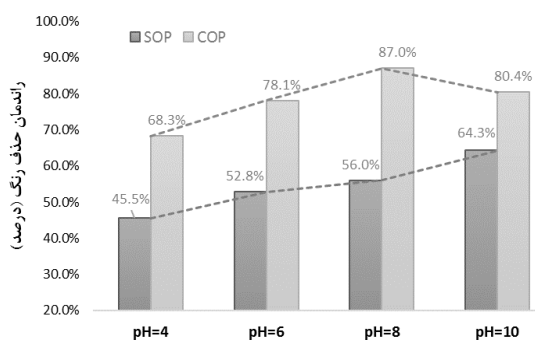
برای انجام این مطالعه ابتدا نمونه پساب خروجی از سیستم تصفیه بیولوژیکی لجن فعال به روش هواده‌ی گسترده کارخانه تولید خمیرمایه از ملاس مشهد تهیه گردید و سپس نسبت به تعیین مشخصات پساب اقدام گردید(۱۷). مشخصات کاتالیست نیز از طرح‌های قبلی، به دست آمد(۱۶،۱۲) و در ادامه بمنظور تعیین کارایی حذف رنگ با استفاده از روش (American Dye Manufacturer Institute) ADMI توسط دستگاه اسپکتروفوتومتر UV-Vis DR 5000 و اسکن طول موج مرئی ۴۲۰ تا ۷۰۰ نانومتر توسط دستگاه اسپکتروفوتومتر CECIL 7400 ساخت کشور انگلستان و همچنین برای تعیین معدنی سازی و مواد آلی کربنی باقیمانده پساب با استفاده از دستگاه TOC آنالایزر (شیمادزو مدل ۵۰۰۰) مطابق روش ارائه شده در کتاب استاندارد متاد اقدام گردید(۱۷). به طور کلی مراحل و شرایط آزمایش بر اساس مطالعات مشابه شامل تعیین اثر پارامترهای مختلف بهره برداری، مانند pH اولیه (در چهار سطح ۴، ۶، ۸ و ۱۰)، زمان ماند (در شش سطح ۵، ۱۰، ۱۵، ۳۰، ۴۵ و ۶۰ دقیقه) در غلظت ثابت کاتالیست L/g، بر راندمان حذف رنگ و سیستم آنها مورد بررسی قرار گرفتند و راندمان فرایند ازن زنی با کاتالیست نانو کامپوزیتی کربنی با فرایند SOP و ازن زنی با کاتالیست کربنی گرانوله بررسی شد. برای تعیین سهم فرایند جذب سطحی رنگ در فرایند COP، ۲ گرم کاتالیست در مجاورت غلظت رنگ ملاس ADMI کاتالیست در مجاورت غلظت رنگ ملاس ۴۵۲۱ بر روی شیکر به مدت ۴۸ ساعت تا ایجاد غلظت باقیمانده ثابت، اشباع گردید. پس از خشک کردن کاتالیست در دمای آزمایشگاه در طول شب و کاربرد

مواد و روش‌ها

- مشخصات راکتور و کاتالیست

همه مواد آزمایشگاهی مورد استفاده در این تحقیق دارای درجه خلوص آزمایشگاهی بودند و در ستر کاتالیست نانو کامپوزیت کربنی برای تشییت نانوذرات Fe₃O₄ روی بستر کربنی از روش همرسوی استفاده شد(۱۵)؛ بدین صورت که پس از اختلاط کلرید آهن III، سولفات آهن II و کربن فعال پودری (مرک، CAS No.: 1.02183..1000) با مقدار بترتیب ۸/۵ و ۱۰ گرم در اrlen حاوی ۴۰۰ سی سی آب مقطر و ورود گاز نیتروژن خالص به آن در دمای ۸۰ درجه سانتیگراد و محلول احیا کننده آمونیوم ۲۵ درصد نانوذرات Fe₃O₄ بر روی کربن فعال تشییت شدند(۱۶)؛ (جدول شماره ۱). سپس راندمان فرایند COP با این کاتالیست با فرایند ازن زنی منفرد و همچنین کاتالیست کربن فعال گرانوله مورد مقایسه قرار گرفت. راکتور مورد استفاده در این تحقیق از جنس ایمینجر شیشه‌ای و به حجم ۲۵۰ میلی لیتر در محل آزمایشگاه دانشکده بهداشت گلستان بود. نوع جریان سیال در راکتور به صورت نیمه پیوسته طراحی شده بود؛ به طوری که گاز ازن از پایین و به صورت پیوسته و جریان پساب رنگی به صورت منقطع وارد آن می گردید و جهت بدام انداختن گاز ازن اضافی خروجی از راکتور از دو بدام انداز گاز حاوی یدید پتاسیم استفاده شد. برای کلیه اتصالات بین اجزای راکتور و ازن ژنراتور از شیلنگ سیلیکونی مقاوم به تاثیر تحریبی ازن، استفاده گردید. برای تعیین فلاسک گاز ازن ورودی به سیستم از روش یدید پتاسیم استفاده شد(۱۷)؛ به طوری که با استفاده از جریان اکسیژن خلوص بالای موجود در کپسول اکسیژن ۴۰ کیلویی با

در صد افزایش یافته است و این افزایش راندمان بصورت روند یکنواخت با افزایش pH می باشد؛ در حالی که بیشترین راندمان حذف رنگ در فرایند COP در $pH = 8$ در صد) صورت گرفت (تصویر شماره ۱).



تصویر شماره ۱: نمودار تجزیه رنگ ملاس بر حسب pH در FRAIENDS SOP و COP؛ غلظت اولیه رنگ ADMI ۴۵۲۱، کاتالیست = ۲ g/L، زمان ۳۰ دقیقه

- راندمان حذف رنگ در فرایند های مختلف
در این قسمت حذف مقدار رنگ ملاس در تمام طول موج های مرئی در فرایند COP توسط کاتالیست نانو کامبوزیتی کربنی و کربن فعال گرانوله و همچنین SOP در قسمت های الف، ب و ج تصویر شماره ۲ نشان داده شد و مقایسه راندمان این فرایندها در تصویر شماره ۳ ارائه گردید. نتایج نشان می دهد که راندمان حذف رنگ توسط سه روش COP با کاتالیست، GAC/O₃ و SOP به ترتیب ۹۵، ۸۶ و ۷۱ درصد می باشد؛ به طوری که سینتیک های هر کدام به ترتیب 0.045 min^{-1} ، 0.028 و 0.018 می باشد و کاتالیست سنتز شده دارای بیش ترین اثر کاتالیتیکی در فرایند ازناسیون می باشد.

- سهم فرایند جذب سطحی
سهم عوامل جذب سطحی توسط کاتالیست در فرایند ازن زنی در تصویر شماره ۴ نشان داده شده است. همان طور که مشاهده می شود راندمان فرایند COP با کاتالیست اشباع شده (۹۲ درصد) پس از زمان واکنش ۶۰ دقیقه تنها ۳ درصد از فرایند COP با کاتالیست تازه کمتر است.

آن در COP، نسبت به سنجش راندمان حذف رنگ در سیستم COP در زمان های مختلف با استفاده از فرمول زیر اقدام گردید.

$$\frac{C_{in} - C_{out}}{C_{in}} \times 100 = \text{راندمان حذف رنگ} (\%)$$

که در آن C_{in} و C_{out} به ترتیب غلظت رنگ ورودی و خروجی از سیستم می باشند.

در انتهای ارزیابی توانایی استفاده مجدد کاتالیست در COP، آزمایش هایی بر اساس شرایط بهینه انجام شد؛ که در آن کاتالیست ۵ دوره توسط آهن ریا با قدرت یک تسلی از پساب جدا شده و مورد استفاده مجدد قرار گرفت. حجم نمونه ها شامل ۷۷ نمونه سنجش رنگ بر حسب ADMI، ۱۸ نمونه اسکن طول موج مرئی و ۷ نمونه TOC است که شرایط پارامترهای مختلف بر اساس طراحی آزمایش بر مبنای "One factor at a time" می باشد.

یافته ها

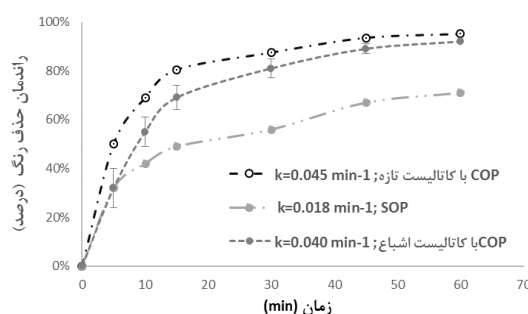
- مشخصات پارامترهای کیفی پساب
نتایج مشخصات کیفی پساب مربوط به کارخانه تولید خیمرمایه از ملاس، که در جدول شماره ۱ ارائه شده است، نشان می دهد که غلظت رنگ در آن ADMI ۵۴۲۱ است و مقدار نسبت COD به BOD معادل 0.15 می باشد.

جدول شماره ۱: مشخصات پساب خروجی تصفیه یولوژیکی کارخانه تولید خیمرمایه

پارامترها	مقدار و مشخصات
اکسیژن موردنیاز شبیه ای (COD)	673 mg/L O ₂
اکسیژن موردنیاز شبیه ای (BOD ₅)	101 mg/L O ₂
کل کربن آلی (TOC)	510 mg/L CO ₂
غلظت رنگ (ADMI)	4521
pH	7.8
نسبت BOD ₅ /COD	0.15
رنگ	فهله ای تیره کاراملی

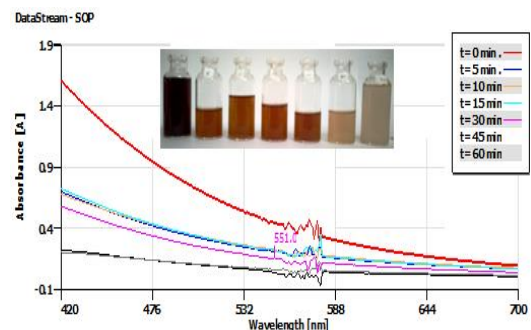
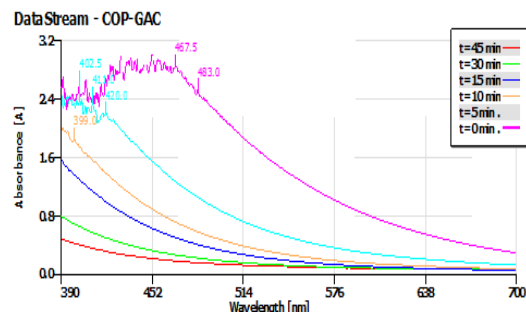
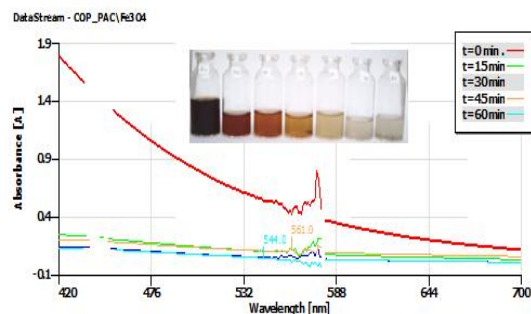
- تأثیر pH اولیه

نتایج نشان داد که در فرایند SOP با افزایش pH راندمان حذف رنگ از $pH = 4$ (۴۵ درصد) تا $pH = 10$ (۶۰ درصد) در مدت زمان واکنش ۳۰ دقیقه حدود ۱۹

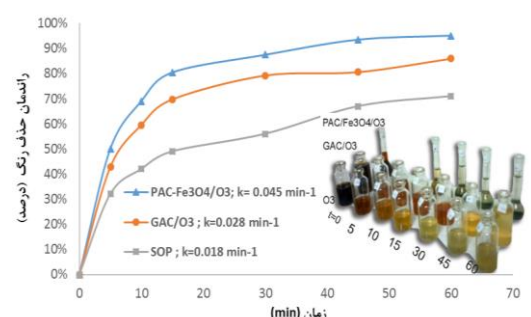


تصویر شماره ۴: نمودار تماشی اثر جذب بر راندمان کاتالیست بر حذف رنگ بر حسب COP در فرایند COP؛ pH=۸؛ غلظت اولیه رنگ ۴۵۲۱ ADMI و غلظت کربن فعال ۲ g/L

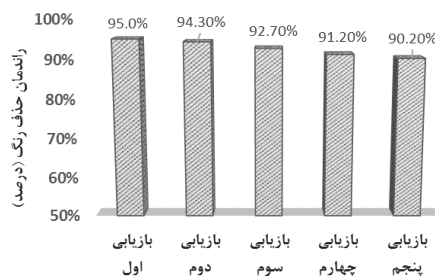
همان‌گونه که در تصویر شماره ۴ مشاهده می‌شود با افزودن کاتالیست تازه، راندمان و سرعت حذف آلانینde افزایش می‌یابد و در صورت استفاده از کاتالیست اشباع راندمان و سرعت حذف به ترتیب ۳ و ۱۱ درصد کاهش می‌یابد. علت این پدیده را می‌توان در سطح گسترده کاتالیست تازه نسبت به مقدار آلانینde در فرایند COP جستجو نمود(۱۶). از دیگر علل‌های این که راندمان کم‌تر حذف رنگ در کاتالیست اشباع شده اتفاق می‌افتد این است که به علت اختلاف پتانسیل الکتریکی سطح کاتالیست و آلانینde، عامل رنگی به سرعت جذب سطح کاتالیست شده و با اشباع شدن سطح، مانع دسترسی ملکول‌های ازن به گروه‌های اکسیژن دار فعال برای تولید رادیکال‌های فعال می‌شود و روند حذف فقط بر اساس ازاناسیون مستقیم از طریق حذف رنگ توسط ملکول‌های ازن در محلول اتفاق می‌افتد. با پیشرفت فرایند و آزاد شدن سطح کاتالیست از رنگ‌های اشباع شده در آن، مشاهده می‌ردد که در انتهای زمان واکنش سرعت تجزیه مجددًا افزایش یافته و راندمان حذف رنگ توسط کاتالیست اشباع به راندمان حذف توسط کاتالیست تازه نزدیک می‌شوند. این موضوع پدیده‌ای است که در سایر مطالعات مشابه نیز اتفاق افتاده است(۱۶). اثر سینزیتیکی کاتالیست با استفاده از معادله ۱ محاسبه گردید و نتایج آن در تصویر شماره ۴ نشان داده شده است(۱۸).



تصویر شماره ۲: نمودار حذف رنگ در طول زمان‌ها و موج‌های مختلف مرئی در فرایند COP با غلظت اولیه رنگ ۴۵۲۱ ADMI و pH=۸ و ۲ g/L؛ (الف) با کاتالیست سنتر شده؛ (ب) فرایند SOP؛ (ج) فرایند ازن زنی با کربن گرانوله با غلظت کاتالیست ۲ g/L.



تصویر شماره ۳: مقایسه راندمان حذف رنگ بر حسب در سه فرایند COP با کاتالیست GAC/O₃ و SOP؛ غلظت اولیه رنگ ۴۵۲۱ ADMI، pH=۸ و ۲ g/L.



تصویر شماره ۶: نمودار تغییرات راندمان حذف رنگ ملاس بر حسب ADMI پس از هر مرتبه بازیافت کاتالیست؛
کاتالیست = 2g/L و $\text{pH}=8$

- استفاده مجدد کاتالیست

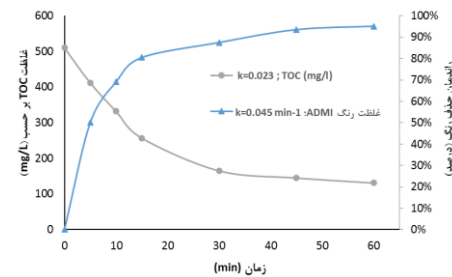
نتایج استفاده مجدد کاتالیست در ۵ مرتبه بازیابی متواتی از کاتالیست توسط آهن ربا نشان داد که کاهش راندمان حذف رنگ از ۹۵ درصد برای کاتالیست تازه به راندمان ۹۰ درصد برای کاتالیست بازیابی شده برای مرتبه پنجم تنها ۵ درصد بوده است.

بحث

- تأثیر pH اولیه

نتایج نشان می‌دهد که با افزایش pH محلول، راندمان تجزیه رنگ ملاس فرایند SOP افزایش می‌یابد. این پدیده در اکثر مطالعات ازن زنی منفرد مشاهده شده است و علت آن را می‌توان به افزایش ضریب انتقال ازن از فاز گازی به فاز مایع، افزایش میزان تجزیه ازن به رادیکال‌های فعال در اثر افزایش میزان آئیون‌های OH^- نسبت داد (۲۱)؛ زیرا این ترکیبات دارای پتانسیل اکسیداسیون بالاتری نسبت به ازن می‌باشند (۲۲) و پتانسیل اکسیداسیون بیشتری ($1/34$ برابر) نسبت به ازن دارند و سبب حذف بیشتر رنگ می‌گردند. نتایج نشان دادند که بیشترین راندمان حذف رنگ در فرایند COP، در $\text{pH}=8$ (درصد)، به طوری که این راندمان حتی بالاتر از $\text{pH}=10$ (درصد) است. این پدیده می‌تواند به علت ویژگی‌های سطح کاتالیست باشد (۲۳) که در فرایند COP، تغییرات pH می‌تواند سبب تغییر در مقدار یون‌های محلول، حالت یونیزه ملکول‌های عامل

همان‌طوری که نتایج نشان می‌دهد، جذب سطحی، سهم اندکی در فرایند حذف آلانینه دارد؛ بطوری که تا انتهای زمان واکنش تنها سهم ۲۰ درصدی از فرایند حذف دارد و موثرترین مکانیسم حذف، تخریب و تجزیه رنگ می‌باشد. همان‌طوری که نشان داده شده است، بیشترین اثر سینزیستی کاتالیست بر راندمان حذف رنگ معادل ۱۵ درصد می‌باشد؛ که در ۱۵ دقیقه اول واکنش رخ داده و تا انتهای زمان واکنش کاهش یافته است. همان‌طوری که در اکثر مطالعات فرایند های جذب به آن اشاره شده است یکی از مهم‌ترین عوامل موثر بر راندمان بالای جاذب در حذف آلانینه، سطح ویژه آن می‌باشد؛ هم‌چنین بعضی گروه‌های عامل، مانند گروه‌های سطحی اکسیژن‌دار سبب تجزیه ازن به رادیکال‌های فعال می‌گردند (۱۹). در مطالعه حاضر نیز از دلایل بالا بودن اثر سینزیستی کاتالیست اصلاح آن توسط خود فرایند ازن زنی از طریق افزایش سطح ویژه کاتالیست و ایجاد حفره‌های ریز و هم‌چنین ایجاد گروه‌های عامل اکسیژن‌دار می‌باشد (۲۰).



تصویر شماره ۵: نمودار حذف TOC و رنگ در فرایند COP؛ غلظت اولیه رنگ بر حسب $\text{ADMI} = 4521 \text{ g/L}$ ، کاتالیست = 2g/L و $\text{pH}=8$

- معدنی سازی رنگ پساب

همان‌طوری که تصویر شماره ۵ نشان می‌دهد، مقدار TOC اولیه معادل 637 mg/L می‌باشد که با راندمان حذف ۷۴ درصد در انتهای زمان واکنش به غلظت 131 mg/L رسیده است. هم‌چنین سینتیک معدنی سازی نیز از مدل شبه درجه اول پیروی می‌کند که مقدار آن معادل $23 \text{ min}^{-1} \cdot 0.23 \text{ mg/L}$ می‌باشد.

رنگ مذکور پس از فرایند اکسیداسیون به رنگ دیگری تغییر شکل نداده است و به سمت بی رنگی پیش رفته است و این گراف‌های اسکن محدوده مرئی، مطابق گراف‌های سایر مقالات حذف رنگ در مجلات معتر، نشان دهنده کاهش تمام طول موج‌های محدوده مرئی و در نتیجه حذف همه مواد رنگی در فاضلاب می‌باشد. همچنین به طوری که راندمان و سینتیک‌های هر کدام از این روش‌ها نشان داده است، بیشترین مقادیر مربوط به روش COP با کاتالیست سنتر شده است، که دارای خاصیت سوپرپارامگنتیکی می‌باشد، و مقدار آن به ترتیب معادل ۹۵ درصد و 45 min^{-1} است و این کاتالیست دارای بیشترین اثر کاتالیتیکی در فرایند ازناسیون می‌باشد؛ به طوری سرعت حذف رنگ در آن ۱/۳۷ برابر فرایند ازن زنی با کربن فعال و ۱/۶ برابر فرایند SOP می‌باشد؛ به طوری که سینتیک کربن فعال نیز ۱/۳۵ برابر فرایند SOP می‌باشد. علت این پدیده قابلیت بالای کاتالیست در حذف سریع و موثر آلاینده نسبت به دو روش دیگر است؛ به طوری که در مطالعات دیگر به افزایش اثر کاتالیستی با افزودن ترکیبات آهن دار به کاتالیست گزارش شده است^(۲۶).

- تعیین مکانیسم حذف رنگ

در فرآیند ازن زنی کاتالیزوری رنگ مقداری از ازن محلول در واکنش با کاتالیست برای تولید رادیکال‌های فعال مصرف می‌شوند، که این رادیکال‌ها دارای توان بالاتری جهت تجزیه رنگ به مواد معدنی و ترکیبات هیدروکسیله واسطه می‌باشند. مقدار دیگری از ازن نیز در واکنش مستقیم با مولکول‌های و ترکیبات واسطه آن وارد می‌گردد. با توجه به این که در فرآیند ازن زنی کاتالیزوری، رنگ به طور مؤثری حذف می‌گردد، مقدار مصرف آن در فرآیند پارامتر مهمی در بهره‌برداری از این فرآیند محسوب می‌گردد. افزایش تجزیه ازن در سطح کربن فعال منجر به افزایش غلظت رادیکال‌ها بویژه رادیکال هیدروکسیل در سطح و حجم

رنگی و ویژگی‌های سطح کاتالیست گردند. همچنین سطح کاتالیست کربنی دارای عواملی از قبیل گروه‌های هیدروکسیل، کربوکسیل می‌باشد که نقش عمده‌ای در تجزیه ازن به رادیکال‌های هیدروکسیل دارند، که به دنبال آن افزایش سرعت تجزیه ازن را به دنبال خواهد داشت^(۲۴). با توجه به این که pH_{pc} کاتالیست ۷/۷ می‌باشد در بالای این pH سطح کاتالیست دارای بار منفی گشته و سبب تسريع بیشتر از نیز به رادیکال هیدروکسیل می‌گردد و اگر pKa آلاینده بالاتر از pH_{pc} کاتالیست باشد، مناسب ترین pH برای جذب آلاینده به سطح کاتالیست در محدوده این دو سطح از pH می‌باشد که در تحقیق‌های مشابه نیز همین نتیجه گزارش شده است^(۲۵).

- تعیین سینتیک فرایند

از آنجایی که توانایی اکسیداسیون فرایند COP هم به واسطه ملکول‌های ازن و هم رادیکال‌های فعال هیدروکسیل تولید شده می‌باشد، سینتیک تجزیه رنگ به صورت معادله ۲ تعیین می‌گردد:

$$-\frac{d[mol]}{dt} = k_0[mol][O_3] + k_{OH}[mol][OH^\circ]$$

که در آن (mol) معادل غلظت رنگ ملاس بوده و (O₃) و (OH[∘]) به ترتیب معادل غلظت ازن و رادیکال‌های هیدروکسیل می‌باشد. k₀ و k_{OH} نیز ثوابت سینتیکی مربوطه می‌باشند. با توجه به این که مقدار گاز ازن در این فرایند اضافه بر مقدار مصرف است و مقداری از آن پس از اشباع کامل در راکتور از سیستم خارج شده و در ایمپینجرهای حاوی KI بدام انداخته می‌شوند، معادله ۲ را می‌توان بصورت معادله شبه درجه یک (معادله ۳) بازنویسی کرد؛ که در آن k ثابت شبه درجه یک یا ثابت کلی می‌باشد:

$$\frac{d[DNP]}{dt} = -(k_0[O_3] + k_{OH}[OH^\circ])[DNP] = -k[DNP]$$

نتایج تصویر شماره ۲ نشان می‌دهد که راندمان حذف در محدوده همه طول موج‌های مرئی رنگ توسط سه روش فوق صورت گرفته است؛ بدین معنی که

می باشد که در انتهای زمان واکنش (۶۰ دقیقه) به ۹۵ و ۷۴ درصد می رسد. این در حالی است که مطابق جدول شماره ۲، راندمان حذف رنگ و TOC آن از سایر روش‌ها و هم‌چنین فرآیندهای اکسیداسیون پیشرفت بیش تر می باشد. کاهش راندمان معدنی سازی نسبت به حذف رنگ را می توان در اکثر فرایندهای اکسیداسیون پیشرفت مشاهده شده نمود. این علت می تواند ناشی از تولید ترکیبات واسطه‌ای مولد مواد کربنی باشد که به طور کامل معدنی سازی نشده‌اند (۱۸، ۳۴).

- قابلیت استفاده مجده

از مشکلات کاتالیست‌های ناهمگن در فرایند ازن زنی کاتالیزوری نشت آن‌ها در پساب تصفیه شده و ایجاد آلاینده ثانویه، تخریب ساختار کاتالیست و از بین رفتن آن، کاهش خاصیت کاتالیستی در استفاده‌های متواالی و مشکلات جداسازی آنها از پساب تصفیه شده می باشد. از مهم‌ترین ویژگی‌های این کاتالیست، از نظر بهره‌برداری در عمل، تخریب حداقل، حفظ خاصیت کاتالیستی در استفاده‌های مکرر، و قابلیت بازیافت ساده آن از طریق آهربا می باشد. برای ارزیابی توانایی کاتالیست استفاده شده در COP برای استفاده مجده، آزمایش تعریف شد که در آن کاتالیست توسط آهربا ۵ مرتبه از پساب جدا شده و در شرایط بهینه، غلظت ۲ g/L، مورد اویله رنگ ۴۵۲۱ ADMI است. راندمان تجزیه رنگ در استفاده مجده قرار گرفت. راندمان تجزیه رنگ در انتهای زمان واکنش (۶۰ دقیقه) در تصویر شماره ۶ نشان می دهد که این کاتالیست با خاصیت سوپر پارامگنتیکی خاصیت کاتالیستی خود را پس از ۵ مرتبه استفاده مجده حفظ نموده است و تنها ۵ درصد از راندمان حذف فنل

ماعی می شود (۲۷). همان‌طوری که در تصویر شماره ۴، راندمان و سنتیک COP با استفاده از کاتالیست اشباع شده از رنگ مورد بررسی قرار گرفته است، اشباع بودن کاتالیست در دقایق اولیه واکنش، اثر بیشتری بر کاهش راندمان حذف رنگ داشته است (۱۸ درصد)، ولی با پیشرفت واکنش، اشباع بودن کاتالیست هیچ گونه تأثیر محسوسی بر فرآیند حذف رنگ نداشته است (۳ درصد). به عبارت دیگر عامل جذب سطحی سهم اندکی در فرآیند حذف آلاینده دارد و مؤثرترین مکانیسم حذف، اکسیداسیون کاتالیزوری می باشد. در تحقیقات مشابه نیز این روند مشاهده گردید و گزارش گردید که مکانیسم غالب در حذف رنگ به این صورت است که در این فرایند ملکول‌های آلاینده به سبب اختلاف بار الکترونیکی به سرعت جذب کاتالیست می‌شوند و سپس آلاینده جذب شده در سطح کاتالیست، به واسطه رادیکال‌های فعال تشکیل شده توسط واکنش ازن و گروه‌های عامل، اکسید می‌شوند (۲۸).

مطابق نتایج سایر تحقیقات مشابه، کربن فعال به تجزیه ازن کمک نموده و منجر به تشکیل گونه‌های فعال اکسیژن دار که مسئول بهبود معدنی سازی ترکیبات آلی هستند، می شود. هم‌چنین ازن مواد بدام افتاده در کربن فعال را پس از فرایند جذب، اکسید نموده و در نتیجه کاربرد هم‌زمان کاتالیست کربنی و ازن سبب افزایش راندمان حذف شد (۲۷).

- معدنی سازی

همان‌طوری که در تصویر شماره ۵ نشان داده شده است، میزان حذف رنگ و TOC پس از زمان ۱۰ دقیقه از شروع فرآیند به ترتیب معادل ۶۹ و ۳۵ درصد

جدول شماره ۲: مقایسه راندمان حذف رنگ ملاس توسط روش‌های مختلف

نوع فرایند تصفیه	عامل رنگی	راندمان حذف رنگ (درصد)	COD	راندمان حذف	TOC	منبع
(Fe ₂ (OH) _n (SO ₄) _{3-n/2}) _m	ملاس	۹۴	-	% ۷۳	٪ ۷۳	(۲۹)
ازناسیون منفرد	ملاس	۹۳ - ۷۱	٪ ۷۵ - ٪ ۱۵	-	-	(۳۰)
روش بیولوژیکی توسط یک نوع مخمر	ملاس	٪ ۷۵	-	-	-	(۳۱)
ازناسیون در حضور کاتالیست اکسید آهن	ملاس	٪ ۸۵	٪ ۶۰	-	-	(۳۲)
UV/H ₂ O ₂ و بیولوژیکی	رنگ آزوی ۱۷۱ SBAR	۱۰۰	٪ ۸۶	-	-	(۳۳)

Fe_3O_4 ، هم می‌توان بر مشکل فرار کاتالیست فائق آمد و آن را بارها مورد استفاده مجدد قرار داد و هم سبب افزایش خاصیت کاتالیستی آن گردید؛ که با توجه به مدت زمان کم ازن زنی، بازیابی آن، از لحاظ اقتصادی نیز مقرون بصرفه به نظر می‌رسد.

سپاسگزاری

این مقاله حاصل بخشی از طرح پژوهشی با عنوان "بررسی حذف رنگ ملاس توسط فرایند ازن زنی کاتالیزوری با کاتالیست نانو Fe_3O_4 ثبت شده بر بستر کربن فعال پودری از پساب صنایع تغذیه‌ی" در سال ۱۳۹۳ و کد ۲۶۷۰۶۰ است که با حمایت مالی معاونت پژوهشی دانشگاه علوم پزشکی گلستان اجرا شده است که نویسنده‌گان از همکاری آن معاونت کمال تشکر و قدردانی را دارند.

References

- Zazouli MA, Cherati JY, Balarak D, Ebrahimi M, Mahdavi Y. Investigating the removal rate of acid blue 113 from aqueous solution by canola (*Brassica Napus*). *J Mazandaran Univ Med Sci* 2013; 22(2): 70-78 (Persian).
- Taghizadeh MM. Biological Evaporation by Composting for Alcohol Industries Waste Water. *Journal of Environtal Studies* 2011; 36(56): 69-74.
- Onodera T, Sase S, Choeisai P, Yoochatchaval W, Sumino H, Yamaguchi T, et al. Development of a treatment system for molasses wastewater: The effects of cation inhibition on the anaerobic degradation process. *Bioresour Technol* 2013; 131: 295-302.
- Grabowska E, Reszczynska J, Zaleska A. Mechanism of phenol photodegradation in the presence of pure and modified-TiO₂: A review. *Water Res* 2012; 46(17): 5453-5471.
- Kumar V, Wati L, FitzGibbon F, Nigam P, Banat I, Singh D, et al. Bioremediation and decolorization of anaerobically digested distillery spent wash. *Biotechnology Letter* 1997; 19(4): 311-314.
- Kumar S, Sahay S, Sinha M. Bioassay of distillery effluent on common guppy, *Lebistes reticulatus* (Peter). *Bull Environ Contam Toxicol* 1995; 54(2): 309-316.
- Jain N, Bhatia A, Kaushik R, Kumar S, Joshi H, Pathak H. Impact of post-methanation distillery effluent irrigation on groundwater quality. *Environ Monit Assess* 2005; 110(1-3): 243-255
- Juwarkar A, Dutta S. Impact of distillery effluent application to land on soil microflora. *Environ Monit Assess* 1990; 15(2): 201-210.
- Raghukumar C, Mohandass C, Kamat S, Shailaja M. Simultaneous detoxification and decolorization of molasses spent wash by the

- immobilized white-rot fungus *Flavodon flavus* isolated from a marine habitat. *Enzyme and Microbial Technology* 2004; 35(2): 197-202.
10. Hammer DA. Constructed wetlands for wastewater treatment: Municipal, industrial, and agricultural. CRC Press; 1989.
11. Thia- Eng, Len R. Problems and trends of waste management in Thailand. *Waste Management in the Coastal Areas of the ASEAN Region: Roles of Governments, Banking Institutions, Donor Agencies, Private Sector and Communities* 1992; 10: 71-76.
12. Dadban Shahamat Y, Farzadkia M, Nasseri S, Mahvi AH, Gholami M, Esrafilii A. Magnetic heterogeneous catalytic ozonation: a new removal method for phenol in industrial wastewater. *J Environ Health Sci Eng* 2014; 12(1): 50.
13. Li X, Zhang Q, Tang L, Lu P, Sun F, Li L. Catalytic ozonation of p-chlorobenzoic acid by activated carbon and nickel supported activated carbon prepared from petroleum coke. *J Hazard Mater* 2009; 163(1): 115-120.
14. Alvarez PM, Pocostales JP, Beltran FJ. Granular activated carbon promoted ozonation of a food-processing secondary effluent. *J Hazard Mater* 2011; 185(2-3): 776-783.
15. Yang N, Zhu S, Zhang D, Xu S. Synthesis and properties of magnetic Fe₃O₄-activated carbon nanocomposite particles for dye removal. *Materials Letters* 2008; 62(4-5): 645-647.
16. Dadban Shahamat Y, Zazouli MA, Asgharnia H, Dehghanifard E. Evaluation of Rapid Purification of High Concentrations of 2, 4-Dinitrophenol in Wastewater Using Catalytic Ozonation with Carboneus Nanocomposite. *J Mazandaran Univ Med Sci* 2016; 25(133): 138-149 (Persian).
17. Eaton AD, Ann HM. American Public Health Association (APHA). *Standard methods for the examination of water and wastewater*. 21th ed. USA: Washington DC; 2005.
18. Moussavi G, Khavanin A, Alizadeh R. The investigation of catalytic ozonation and integrated catalytic ozonation/biological processes for the removal of phenol from saline wastewaters. *J Hazard Mater* 2009; 171(1-3): 175-181.
19. Chiang H-L, Huang C, Chiang P. The surface characteristics of activated carbon as affected by ozone and alkaline treatment. *Chemosphere* 2002; 47(3): 257-265.
20. Chaichanawong J, Yamamoto T, Ohmori T. Enhancement effect of carbon adsorbent on ozonation of aqueous phenol. *J Hazard Mater* 2010; 175(1-3): 673-679.
21. Moussavi G, Khosravi R. Preparation and characterization of a biochar from pistachio hull biomass and its catalytic potential for ozonation of water recalcitrant contaminants. *Bioresour Technol* 2012; 119: 66-71.
22. Esplugas S, Giménez J, Contreras S, Pascual E, Rodríguez M. Comparison of different advanced oxidation processes for phenol degradation. *Water Res* 2002; 36(4): 1034-1042.
23. Rao Y-f, Luo H-j, Wei C-h, Luo L-f. Catalytic ozonation of phenol and oxalic acid with copper-loaded activated carbon. *Journal of Central South University Technology* 2010; 17(2): 300-306.
24. Valdés H, Zaror CA. Heterogeneous and homogeneous catalytic ozonation of benzothiazole promoted by activated carbon: Kinetic approach. *Chemosphere* 2006; 65(7): 1131-1136.
25. Dadban Shahamat Y, Sadeghi M, Shahryari A, Okhovat N, Bahrami Asl F, Baneshi MM.

- Heterogeneous catalytic ozonation of 2, 4-dinitrophenol in aqueous solution by magnetic carbonaceous nanocomposite: catalytic activity and mechanism. Desalination and Water Treatment 2015; 1-10.
26. Singer PC, Bilyk K. Enhanced coagulation using a magnetic ion exchange resin. Water Res 2002; 36(16): 4009-4022.
27. Nawrocki J, Kasprzyk-Hordern B. The efficiency and mechanisms of catalytic ozonation. Applied Catalysis B: Environment 2010; 99(1-2): 27-42.
28. Asgari G, Almasi H, Fardmal J, Ghanbari F, Daraie Z, Akbari S. Optimization of Catalytic Ozonation Process for Removal of Reactive Black 5 dye Using Bone Char Ash Modified by Magnesium Oxide and Applying Taguchi Design. J Mazandaran Univ Med Sci 2015; 24(122): 252-262 (Persian).
29. Migo VP, Matsumura M, Del Rosario EJ, Kataoka H. Decolorization of molasses wastewater using an inorganic flocculant. J Ferment Bioeng 1993; 75(6): 438-442.
30. More T, Yan S, Tyagi R, Surampalli R. Applications of Membrane Processes for Concentrated Industrial Wastewater Treatment. Membrane Technology Environmental Applications 2012; 217-238.
31. Vahabzadeh F, Mehranian M, Saatari A. Color removal ability of Phanerochaete chrysosporium in relation to lignin peroxidase and manganese peroxidase produced in molasses wastewater. World J Microb Biot 2004; 20(8): 859-864.
32. Sreethawong T, Chavadej S. Color removal of distillery wastewater by ozonation in the absence and presence of immobilized iron oxide catalyst. J Hazard Mater 2008; 155(3): 486-493.
33. Moradi Pasand L, Ayati B. Study of reactive blue 171 dye degradation in hybrid system of UV/H₂O₂ & SBAR. Iranian Journal of Health and Environment 2014; 6(3): 393-406 (Persian).
34. Suárez-Ojeda ME, Carrera J, Metcalfe IS, Font J. Wet air oxidation (WAO) as a precursor to biological treatment of substituted phenols: Refractory nature of the WAO intermediates. Chemical Engineering Journal 2008; 144(2): 205-212.
35. Qu X, Zheng J, Zhang Y. Catalytic ozonation of phenolic wastewater with activated carbon fiber in a fluid bed reactor. J Colloid Interface Sci 2007; 309(2): 429-434.